

بررسی اثر شکل هندسی حوضه رسوی و فرکانس موج تحریک بر پاسخ لرزه‌ای سطح زمین

ساسان نریمان‌نژاد، علیرضا جعفری‌ندوشن، علی معصومی*

دانشگاه خوارزمی، دانشکده فنی و مهندسی

عبدالله سهرابی‌بیدار؛ دانشگاه تهران، پردیس علوم، دانشکده زمین‌شناسی

علی قنبری؛ دانشگاه خوارزمی، دانشکده فنی و مهندسی

تاریخ: دریافت ۹۵/۰۱/۲۳
پذیرش ۹۶/۰۱/۱۶

چکیده

از آنجاکه اغلب شهرها در نزدیکی و یا روی دره‌های آبرفتی بنا شده‌اند، اثرهای هندسه حوضه رسوی بر حرکت زمین در مهندسی ژئوتکنیک لرزه‌ای اهمیت ویژه‌ای دارد. انجنای حوضه‌ای که در آن خاک‌های آبرفتی نرم‌تر رسوب‌گذاری شده است، می‌تواند امواج حجمی را حبس کرده و موجب می‌شود که برخی از امواج حجمی برخوردی، به صورت امواج سطحی در لایه آبرفتی متشر شوند، این امواج می‌توانند لرزش‌های شدیدتر و طولانی‌تری نسبت به آنچه در تحلیل یک بعدی با فرض انتشار قائم امواج برشی تخمین زده می‌شوند ایجاد کنند. در این پژوهش با استفاده از نرم افزار المان محدود آباکوس چهار شکل حوضه رسوی شامل مستطیلی، ذوزنقه‌ای، بیضی و مثلثی در حوزه زمان تحلیل شدن و اثر شکل هندسی حوضه رسوی و هم‌چنین اثر محتوای فرکانسی موج تحریک در هر یک از حوضه‌ها بررسی شد و نتایج آن با تحلیل یک بعدی مقایسه شد. نتایج نشان می‌دهد پاسخ‌های تحلیل یک بعدی با دو بعدی اختلاف بسیاری دارد این اختلاف تا $1/45$ برابر پاسخ شتاب تحلیل دو بعدی به یک بعدی در حوضه مستطیل شکل است. مدل حوضه مستطیل شکل که در این تحقیق بررسی شده است در مقایسه با سایر حوضه‌ها پاسخ‌های بیشتری دارد.

واژه‌های کلیدی: اثر ساختگاه، اثر توپوگرافی، حوضه رسوی، دره آبرفتی، بزرگنمایی، ژئوتکنیک لرزه‌ای،

حرکت حوزه آزاد، مرزهای جاذب انرژی، المان محدود

*نویسنده مسئول massumi@knu.ac.ir

مقدمه

شرایط محلی ساختگاه برهمه خصوصیات مهم حرکت نیرومند زمین شامل دامنه، محتوای فرکانسی و مدت زمان آن تأثیر چشم‌گیر می‌گذارند. میزان این تأثیر تابع هندسه، خواص مصالح لایه‌های زیرسطحی و توپوگرافی ساختگاه و خصوصیات حرکت ورودی است. تغییر در حرکت زمین بر اثر شرایط ساختگاه باعث شده است که محققان بسیاری در ارزیابی اثرها و آسیب‌های زلزله، اثرهای ساختگاهی را در درجه اول اهمیت قرار دهند. اثرهای ساختگاهی شامل دو بخش است:

- اثرهای لایه‌های نرم سطحی که بر اثر اختلاف سرعت بین لایه‌های خاکی ایجاد می‌شود.
- اثرهای توپوگرافی سطحی و زیرسطحی که باعث انعکاس و انكسار امواج بر اثر هندسه ساختگاه می‌شود که نتیجه آن بزرگ‌نمایی بیشتر است.

بهترین مثال از اثرهای توپوگرافی، با یک لرزه‌نگار که روی پایه سد «پاکویما» در جنوب کالیفرنیا نصب شده بود، ثبت شده است. لرزه‌نگار سد «پاکویما» شتاب‌های افقی حداقل ۶,۴ (M_L=۱/۲۵) شتاب زمین در هر دو جهت عمود بر هم در زلزله ۱۹۷۱ سان فرناندو را ثبت کرد. مقادیر ثبت شده برای زلزله‌ای با این بزرگ‌گاری به میزان چشم‌گیری بزرگ‌تر از حد انتظار بود. لرزه‌نگار مذکور در تاج تپه سنگی باریک در مجاورت سد نصب شده بود. تریفیناک و هادسون (۱۹۷۱) در تحقیقاتی بعدی در مورد این پدیده، بیشینه شتاب‌های بزرگ و نامتعارف ثبت شده را به پاسخ دینامیکی خود تپه که ناشی از اثر توپوگرافی بود، نسبت دادند [۱].

از آنجاکه اغلب شهرها در نزدیکی و یا روی حوضه‌های رسوی بنا شده‌اند، در مهندسی رئوتکنیک لرزه‌ای اثرهای حوضه رسوی بر حرکت زمین اهمیت ویژه‌ای دارد. انحنای حوضه‌ای که در آن خاک‌های آبرفتی نرمت رسوی گذاری شده‌اند می‌تواند امواج حجمی را حبس کرده و موجب شود که برخی از امواج حجمی برخوردی، به صورت امواج سطحی در لایه آبرفتی منتشر شوند. این امواج می‌توانند لرزش‌های شدیدتر و طولانی‌تری نسبت به آنچه در تحلیل یک بعدی با فرض انتشار قائم امواج برآشی تخمین زده می‌شوند ایجاد کنند. بارد و

بوچان^۱ (۱۹۸۰) دره‌های آبرفتی را به صورت پارامتریک تحت امواج P, SV, SH بررسی کردند. آن‌ها مشاهده کردند که امواج سطحی به وسیله مرزهای دره ایجاد می‌شود و با انتشار آن در سطح دره آبرفتی باعث ایجاد بزرگ‌نمایی چشم‌گیر می‌شود [۲، [۳]. کینگ و تاکر^۲ (۱۹۸۴) حرکت‌های زمین را در امتداد پروفیل‌های عرضی و طولی دره «چوسل» در نزدیکی افغانستان در مرز اتحاد جماهیر شوروی سابق اندازه‌گیری کردند. تفسیر پاسخ یک سری زلزله‌های کوچک ($M_{L\leq 4}$) نشان می‌دهد که تحلیل‌های پاسخ یک‌بعدی زمین متوسط پاسخ رسوی‌ها نزدیکی مرکز دره را مشخص می‌کنند و در گوشه‌ها و لبه‌های دره مشخص نمی‌شود. اختلاف زیاد بین توابع تشديد در مرکز و لبه‌ها دره، علت اختلاف قابل ملاحظه حرکت در اين مکان‌ها است [۴]. اثرهای مشابهی نیز برای دره‌های دیگر در زلزله‌های مختلف مشاهده شده است (دره کاراکاس در زلزله سان فرناندو (۱۹۷۱) و (۱۹۷۱)، در لینین خان ارمنستان (۱۹۸۸). هارمسن و هارددین^۳ (۱۹۸۱)، اوتساکی و هارومی^۴ (۱۹۸۳) خاطر نشان کردند که لبه‌های دره آبرفتی که تحت امواج P قرار گرفته است باعث ایجاد امواج رایلی می‌شود [۵] و [۶]. بارد و گاریل^۵ (۱۹۸۶) با استفاده از روشی تحلیلی، پاسخ دوبعدی دره‌های آبرفتی کم‌عمق تا عمیق را بررسی کردند. از مقایسه توابع تشديد محاسبه شده برای حالت دوبعدی با توابع تشديد با فرض انتشار یک بعدی امواج می‌توان دقت فرضیه‌های یک بعدی را نشان داد [۷]. پژوهش‌های تئوریک رایال^۶ و همکاران (۱۹۹۲) برای یک دره عمیق نشان داد که سازگاری بین توابع تشديد یک و دوبعدی در مرکز دره بیشتر از کناره‌ها است اما این سازگاری در مرکز دره‌های کم عمق به نسبت عمیق بسیار بیشتر است. دره‌های آبرفتی با شکل نامنظم که متشكل از مناطق با پستی‌ها و بلندی‌ها است، امکان ایجاد حرکت‌های بسیار پیچیده و حتی مغشوش وجود آورد [۸]. ژانگ و پاپاچورجیا^۷ (۱۹۹۶) پاسخ غیرخطی منطقه مارینا را طی زلزله لوما پریتا شبیه‌سازی کردند [۹].

-
1. Bard and Bouchon
 2. King and Tucker
 3. Harmsen and Harding
 4. Ohtsuki and Harumi
 5. Bard And Gareil
 6. Rial
 7. Zhang and Papageorgiou

کمالیان و همکاران (۲۰۰۷) تحلیل‌های پارامتری متعددی را روی دره به شکل نیم‌سینوسی تحت اثر امواج طولی و برشی منتشر شده در راستای قائم در حالت دوبعدی با استفاده از روش اجزای مرزی مستقیم در حوزه زمان انجام دادند که طول موج و هندسه ساختگاه، مشخصات مصالح، نوع موج ورودی و دیگر مشخصه‌های حاکم بر الگوی بزرگ‌نمایی این دره‌ها شناسایی شدند [۱۰]. گتمیری و همکاران (۲۰۰۸) آثار توپوگرافی دره‌های رسوبی روی امواج زلزله را با استفاده از ترکیب دو روش المان مرزی و المان محدود بهینه شده بررسی کردند. بر اساس این پژوهش، حرکت میدان نزدیک با المان محدود و حرکت میدان دور با المان مرزی مدل شد (به عبارتی محدوده خود مدل که عوارض توپوگرافی است با المان محدود و سنگ بستر و مرزها (محیط نیمه بی‌نهایت) با المان مرزی انجام شده است) [۱۱]. سه رابی بیدار و همکاران (۲۰۱۰) با استفاده از روش اجزای مرزی سه‌بعدی مستقیم در حوزه زمان پاسخ دره سه‌بعدی گوسی شکل را به صورت پارامتریک بررسی کردند، طول موج، هندسه ساختگاه و تا حدودی نوع موج مهاجم به عنوان پارامترهای مؤثر بر بزرگ‌نمایی این نوع تپه‌ها شناسایی شدند. توابع بزرگ‌نمایی و کوچک‌نمایی دره‌های دوبعدی مقادیر کوچک‌تری به نسبت توابع بزرگ‌نمایی و کوچک‌نمایی دره‌های سه‌بعدی با هندسه و ابعاد مشابه نشان می‌دهند [۱۲].

علی‌رغم اهمیت موضوع اثر دوبعدی ساختگاه در بسیاری از آئیننامه‌ها و استانداردهای لرزه‌ای دنیا گنجانده نشده است، زیرا این اثر به پارامترهایی نظیر هندسه ساختگاه، نوع تحریک موج ورودی، مشخصات مصالح و غیره بستگی دارد و همین موارد پیش‌بینی آن را سخت می‌سازد. در این تحقیق سعی می‌شود با مقایسه پاسخ چهار حوضه رسوبی با هندسه‌های فرضی مستطیلی، ذوزنقه‌ای، بیضی و مثلثی شکل، اثر شکل هندسی حوضه رسوبی بر پاسخ آن و میزان حساسیت پاسخ آن‌ها به فرکانس موج تحریک بررسی شود، در این پژوهش نسبت دهانه به عمق هر چهار حوضه ثابت و برابر در نظر گرفته شد تا صرفاً اثر شکل هندسی این چهار حوضه رسوبی تحت شرایط یکسان با یکدیگر بررسی شود.

مدل‌سازی

در این بخش به منظور بررسی اثر شکل هندسی حوضه رسوی و فرکانس موج تحریک بر پاسخ لرزه‌ای سطح زمین، ابتدا روش مدل‌سازی با استفاده از نتایج معتبر پژوهش‌های پیشین صحت‌سنجدی شده و سپس مدل‌های بررسی شده، معرفی می‌شود.

۱. صحت‌سنجدی

به منظور صحت‌سنجدی نرم افزار المان محدود آباکوس و روش مدل‌سازی، جایه‌جایی میدان آزاد سطح یک دره آبرفتی نیم‌دایره بر اساس پژوهش‌های کمالیان و همکاران (۲۰۰۶) [۱۳] و موسسیان و داروینسکی^۱ (۱۹۸۷) [۱۴] به دست آمد و با نتایج آن‌ها مقایسه شد. دره نیم‌دایره به شعاع ۱۰ متر در محیط ویسکوالاستیک بررسی شد. مشخصات مصالح به کار رفته در جدول ۱ آمده است.

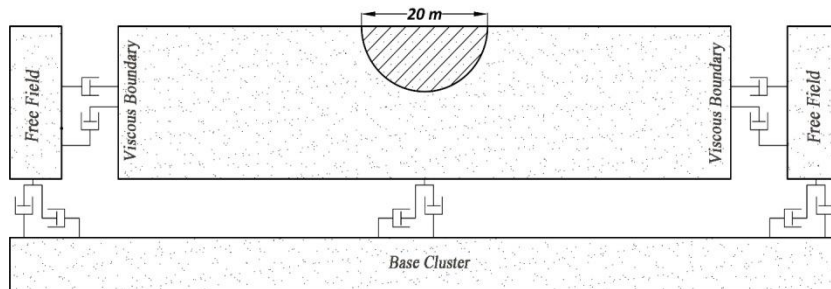
جدول ۱. خصوصیات مصالح

$V_s (m/s)$	v	E (MPa)	$\rho (kg/m^3)$	لایه
۱۱۱,۶۶۵	۰,۳۳۳	۴۳,۳	۱۳۳۳	حوضه رسوی
۲۲۲,۳۳	۰,۳۳۳	۲۶۶	۲۰۰۰	سنگ بستر

برای آنالیز دینامیکی از حل گر ضمنی^۲ استفاده شد. برای جذب امواج تابشی و جلوگیری از بازگشت آن‌ها به داخل مدل باید از مرز جاذب مناسب استفاده کرد. تاکنون انواع مرزهای جاذب مانند مرز ویسکوز، مرز ویسکوالاستیک، مرز المان بینهایت، مرز میدان آزاد و انواع مرزهای دیگری را پژوهش‌گران معرفی کرده‌اند. در این تحقیق مرزهای کناری از ترکیب مرز میدان آزاد و ویسکوز و در مرز پایین از مرز ویسکوز استفاده شد. مرز میدان آزاد حرکت یک بعدی میدان آزاد را تولید می‌کند و به مدل اصلی انتقال می‌دهد و امواج بازگشته مازاد به وسیله مرز ویسکوز جذب می‌شود [۱۵، ۱۶]. شکل ۱ به صورت شماتیک مدل را نشان می‌دهد.

مدل تحت تابش قائم موج ریکر SV با فرکانس غالب ۵,۵۸ هرتز قرار گرفت، شکل ۲ تحریک ورودی جایه‌جایی را نشان می‌دهد، سایر مشخصات موج ریکر در جدول ۲ آمده است. رابطه ۲، معادله ریکر استفاده شده برای تحریک ورودی را بیان می‌کند. شایان توجه است که

1. Mossessian and Dravinski
2. Implicit



شکل ۱. نمای کلی مدل

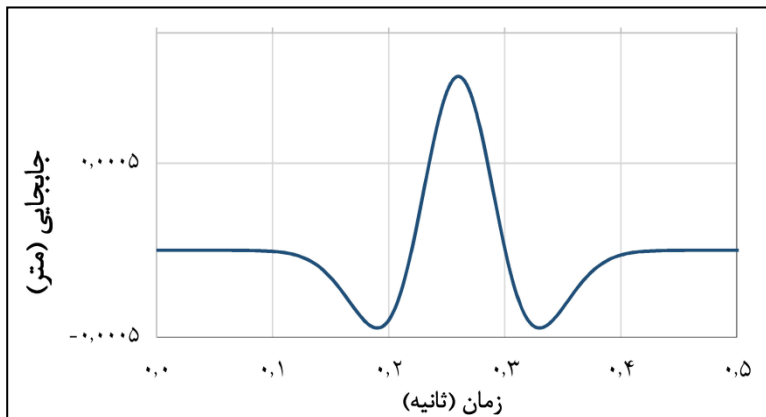
همه المان‌های داخل مدل، باید تمامی فرکانس‌های موج تحریک را از خود عبور دهند، با توجه به فرکانس غالب موج و پراکنده‌گی فرکانس بار تحریک، از فرکانس ۲۵ هرتز به بعد، تحریکی وجود ندارد. ابعاد المان با توجه به رابطه (۱) و با در نظر گیری فرکانس ماکریم ۲۵ هرتز، برای مصالح آبرفتی ۴،۰ متر و سنگ بستر ۰،۷ متر انتخاب شد [۱۷] شکل ۳ چیدمان المان‌ها و نحوه مدل‌سازی حوضه رسوبی در نرم افزار آباکوس را نشان می‌دهد.

$$\Delta L < \frac{\lambda}{10} \quad (1)$$

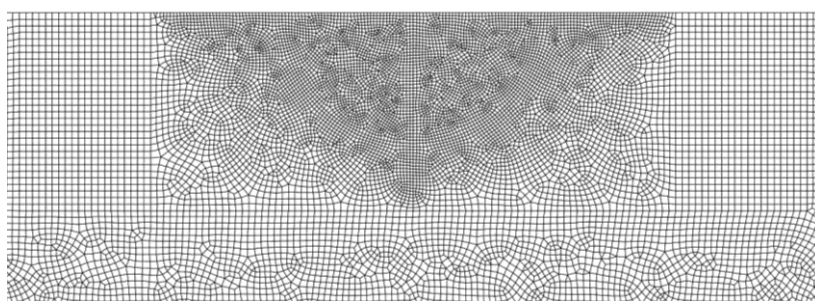
$$f(t) = A_{max} \left[1 - 2 \left(\pi f_p (t - t_0) \right)^2 \right] e^{-\left(\pi f_p (t - t_0) \right)^2} \quad (2)$$

جدول ۲. مشخصات موج ریکر ورودی به مدل

f_p (Hz)	t_0 (s)	A_{max} (m)
۵،۵۸	۰،۲۶	۰،۰۰۱

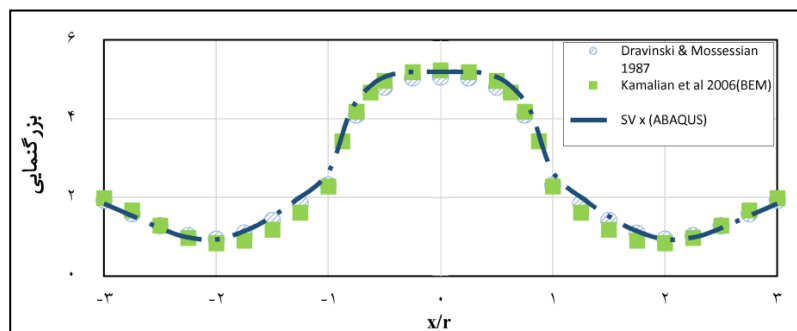


شکل ۲. نمودار تاریخچه زمانی جابه‌جاوی موج ریکر ۵،۵۸ هرتز

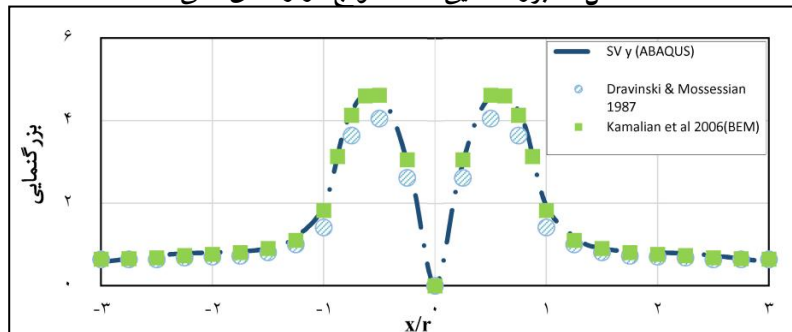


شکل ۳. نمای نزدیک از شکل حوضه رسوی در نرم‌افزار آباکوس

مدل با مشخصات فوق تحلیل شد و دامنه بزرگنمایی جابه‌جایی دو راستای افقی و قائم در فرکانس $5/58$ هرتز محاسبه شد. نتایج به دست آمده در شکل‌های ۴ و ۵ با نتایج کمالیان و همکاران (۲۰۰۶) و موسسیان و داروینسکی (۱۹۸۷) مقایسه شده است. چنان‌که مشاهده می‌شود نتایج به دست آمده همانگی بسیار خوبی با نتایج مذکور دارد، بنابراین از این روش می‌توان با اطمینان برای تحلیل‌های بعدی استفاده کرد.



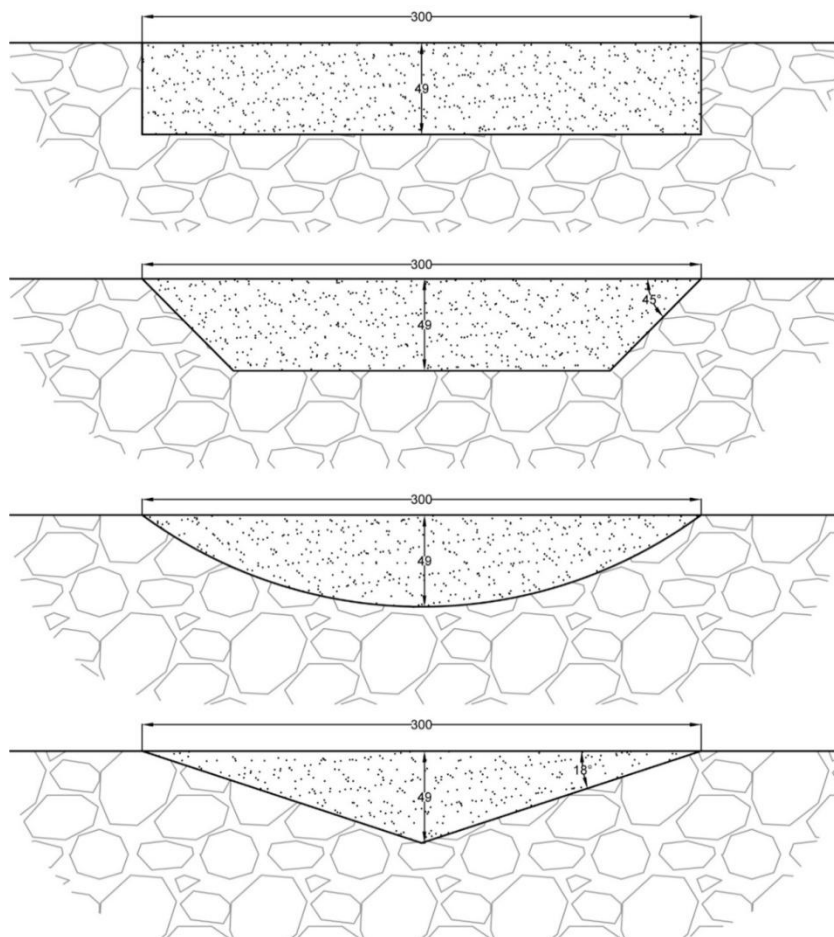
شکل ۴. بزرگنمایی دامنه امواج در راستای افقی



شکل ۵. بزرگنمایی دامنه امواج در راستای قائم

۲. مشخصات هندسی مدل

در این تحقیق به منظور بررسی اثر هندسه حوضه رسوی بر پاسخ آن، چهار حوضه رسوی با فرکانس اصلی ۲۰۴ هرتز با هندسه‌های مستطیلی، ذوزنقه‌ای، بیضی و مثلثی با نسبت دهانه به عمق ثابت (عمق ۴۹ متر و دهانه ۳۰۰ متر) به روش اجزا محدود و با استفاده از نرم‌افزار آباکوس بررسی شد. شکل ۶ مشخصات هندسی حوضه‌های رسوی را نشان می‌دهد.



شکل ۶. مشخصات هندسی حوضه‌های رسوی

۳. مشخصات مصالح و موج ورودی

برای آنالیز دینامیکی از روش ضمنی استفاده شد. مصالح از نوع ویسکوالاستیک و همگن

بررسی اثر شکل هندسی حوضه رسوی و فرکانس موج تحریک بر پاسخ لرزه‌ای سطح زمین

و مدل رفتاری خاک، خطی در نظر گرفته شد، جهت اختصاص میرایی از میرایی رایلی دو موده استفاده شد. نوع المان خاک از نوع کرنش صفحه‌ای و ابعاد المان با توجه به رابطه (۱) به دست آمد. جدول ۳ مشخصات مصالح به کار رفته را نشان می‌دهد.

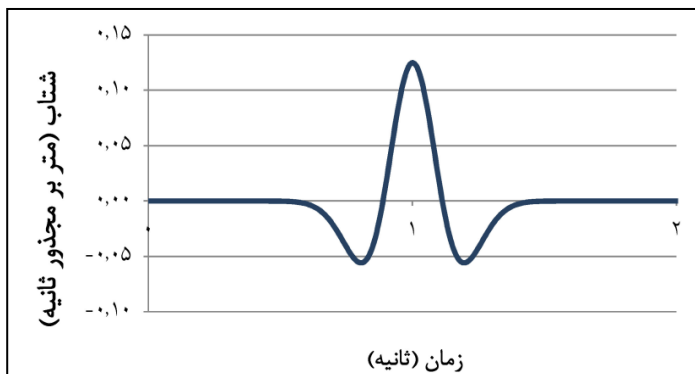
جدول ۳. مشخصات مصالح

V_s (m/s)	Δl_{max} (m)	v	Q_f	E (MPa)	ρ (kg/m ³)	لایه
۴۰۰	۱,۴	۰,۳۳۳	۲۰	۸۵۳,۳۳	۲۰۰۰	حوضه رسوی
۱۴۰۰	۷	۰,۳۳۳	...	۱۲۰۱۸	۲۳۰۰	سنگ بستر

برای بارگذاری لرزه‌ای از امواج SV و از نوع موج ریکر که در راستای قائم انتشار می‌یابند استفاده شد. در این پژوهش‌ها برای تعریف الگوی موج تحریک معمولاً از امواج ریکر، هارمونیک، ضربه‌ای و رکوردهای واقعی زلزله استفاده می‌شود. موج ریکر نوعی موج لرزه‌ای است که تخمین بسیار زیادی از رکوردهای واقعی زلزله دارد (بهویژه رکوردهای حوضه دور) و مدت زمان مؤثر تحریک آن غالباً نسبت به رکوردهای واقعی زلزله بسیار کمتر است و در نتیجه هزینه محاسباتی را بسیار کاهش می‌دهد، همچنین برای بررسی مدل در فرکانس‌های خاص، بهتر است از موج تحریک ریکر استفاده شود. بهمنظور بررسی عملکرد حوضه رسوی تحت فرکانس‌های متفاوت، سه موج ریکر شتاب با فرکانس غالب ۱ و ۲ و ۴ هرتز انتخاب شد. مشخصات بارگذاری در جدول ۴ آمده است، همچنین از رابطه (۲) برای تعریف موج ریکر استفاده شد. شکل ۷ نمودار تاریخچه زمانی موج ریکر شتاب با فرکانس غالب ۲ هرتز را نشان می‌دهد.

جدول ۴. مشخصات بارگذاری

f_p (Hz)	t_0 (s)	A_{max} ($\frac{m}{s^2}$)
۱	۲	۰,۱۲۵
۲	۱	۰,۱۲۵
۴	۰,۵	۰,۱۲۵



شکل ۷. نمودار تاریخچه زمانی موج ریکر شتاب با فرکانس غالب ۲ هرتز

۴. مرزهای دینامیکی

۴-۱. مرز ویسکوز

لایزمر و کوهلمیر^۱ [۱۸] مرز جاذب ویسکوز معرفی کردند. این مرز قابلیت جذب تنفس ناشی از امواج دینامیکی مطابق با روابط ۳ و ۴ دارد، عدم وابستگی به محتوای فرکانسی موج برخوردي از ویژگی های این مرز است به طوری که می تواند امواج هارمونیک و غیرهارمونیک را جذب کند. در واقع این مرز برای جذب امواج حجمی برای مسائل یک بعدی است، در مسائل دو و سه بعدی، در صورتی که زاویه برخورد موج لرزه ای با راستای عمود بر مرز، بیشتر از ۳۰ درجه باشد این مرزها به خوبی قادر به جذب نیستند.

$$\sigma_n = -\rho V_p \frac{\partial u}{\partial t} + \sigma_n^0 \quad (3)$$

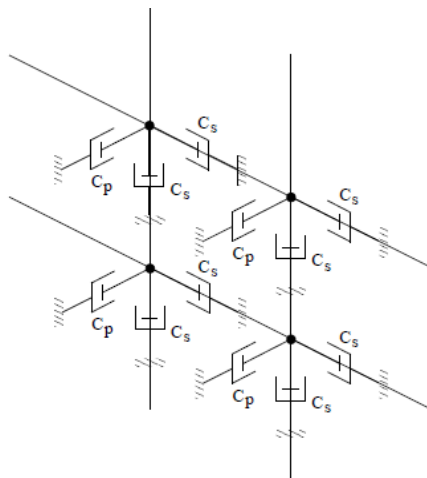
$$\tau = -\rho V_s \frac{\partial v}{\partial t} + \tau^0 \quad (4)$$

روابط ۵ و ۶ ضرایب میرایی ویسکوز برای امواج برشی و طولی را بیان می کند. در این روابط A مساحتی از گره است که میراگر به آن اختصاص می یابد، ρ چگالی ماده در محل مرز است، V_s سرعت موج برشی و V_p سرعت موج طولی ماده است. ضرایب a و b بدون بعد هستند، مرز ویسکوز در صورتی که زاویه موج برخوردي با مرز کمتر از ۳۰ درجه باشد، جذب بسیار زیادی داشته و در این حالت ضرایب a و b برابر یک هستند. شکل ۸ نحوه قرارگیری مرز ویسکوز در مرز را نشان می دهد [۱۸].

1. Lysmer and Kuhlemeyer

$$C_s = a\rho V_s A \quad (5)$$

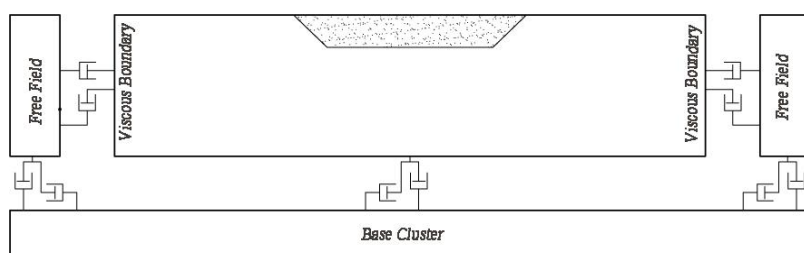
$$C_p = b\rho V_p A \quad (6)$$



شکل ۸. نحوه قرارگیری مرز ویسکوز در مرز

۲-۴. مرزهای جانبی

مرزهای کناری مدل (چپ و راست) از نوع ترکیبی مرز ویسکوز و مرز میدان آزاد است. برای عملکرد بهتر ستون‌های مرز میدان آزاد در جذب امواج، از ستون‌های سنگین استفاده شد، برای اعمال این شرط جرم و مدول الاستیسیته ستون‌ها ۱۰۰۰ برابر شد طوری که سرعت موج برشی ثابت می‌ماند. برای جذب بهتر امواج سطحی می‌توان میراگرهای برشی (مماسی) را به داخل مدل برد، در این تحقیق میراگرهای مماسی به اندازه دو المان به داخل برد شدند [۱۹]. مرز پائین نیز از نوع ویسکوز است. شکل ۹ نحوه قرارگیری حوضه رسوبی در مدل و ترکیب مرزها را نشان می‌دهد.



شکل ۹. مدل شماتیک و نوع مرزها

نتایج مدل‌سازی

۱. تحلیل یک بعدی ساختگاه

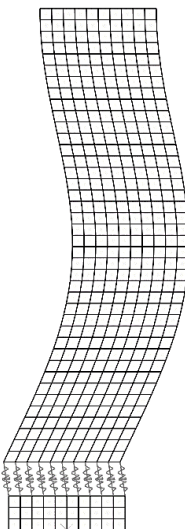
به منظور تحلیل یک بعدی ساختگاه، یک ستون خاکی در نظر گرفته شد به طوری که همانند تیر برشی رفتار کند، شکل ۱۰ رفتار یک بعدی یک ستون خاکی تحت موج تحریک لرزه‌ای را در مقیاس بزرگ نشان می‌دهد، مطابق شکل مشاهده می‌شود که ستون خاکی رفتار برشی دارد. برای جذب امواج تابشی و جلوگیری از بازتاب امواج به داخل مدل، از مرز میدان آزاد در اطراف ستون استفاده شد، لایه خاکی به عمق ۴۹ متر بر سنگ بستر در نظر گرفته شد که مشخصات صالح همانند جدول ۳ است. ستون تحت سه موج ریکر مطابق جدول ۲ قرار گرفت و پاسخ شتاب در بالای ستون خاکی قرائت شد و بیشینه شتاب افقی برای سه موج تحریک به دست آمد. نتایج در جدول ۵ آمده است.

جدول ۵. نتایج تحلیل یک بعدی

f_p (Hz)	A_{max} (1D) (m/s ²)
۱	۰,۳۹۶
۲	۰,۴۶۳
۴	۰,۳۶۶

۲. اثر محتوای فرکانسی موج مهاجم بر پاسخ حوضه رسوی

به منظور بررسی اثر فرکانس بار ورودی بر پاسخ حوضه رسوی، یک موج خارج از محدوده فرکانسی حوضه‌ها و دو موج ریکر در محدوده فرکانسی حوضه‌ها اعمال شد. یک موج با فرکانس غالب ۱ هرتز (خارج از محدوده فرکانسی حوضه‌ها و کمتر از فرکانس اصلی چهار حوضه (۲۰۴ هرتز)، و موج دیگر با فرکانس غالب ۲ هرتز که نزدیک به کمترین



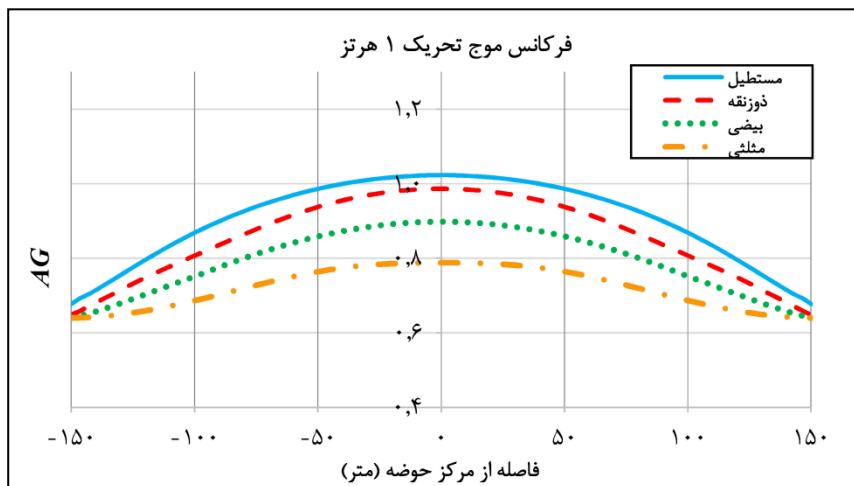
شکل ۱۰. مدل‌سازی یک بعدی ستون خاکی

فرکانس اصلی حوضه‌ها است و دیگری موج با فرکانس غالب ۴ هرتز انتخاب شد. نتایج به دست آمده با نتایج تحلیل یکبعدی در حوزه زمان مقایسه شد که برای مقایسه بیشینه شتاب افقی تحلیل دوبعدی به یکبعدی در طول حوضه از رابطه ۷ استفاده شد [۲۰]. باید توجه داشت که نسبت بیشینه شتاب افقی تحلیل دوبعدی به یکبعدی، از این رو، دارای اهمیت است که ساختار هندسی حوضه‌های رسوی سبب انکسار و به دام افتادن امواج حجمی و همچنین تولید و انتشار امواج سطحی می‌شود که عموماً منجر به بزرگنمایی و مدت زمان تحریک بیشتر نسبت به آن‌چه که تحلیل یکبعدی تخمین می‌زند می‌شود، به طوری که در بسیاری از موارد با استفاده از تحلیل یک بعدی نمی‌توان خطر لرزه‌ای حوضه‌های رسوی را تخمین زد.

$$AG = \frac{A_{max}(2D)}{A_{max}(1D)} \quad (7)$$

در شکل ۱۱ نتایج حاصل از تحلیل دوبعدی در مقایسه با تحلیل یکبعدی برای موج ریکر ۱ هرتز با شکل‌های متفاوت حوضه رسوی آمده است. به‌منظور جلوگیری از پدیده تشددید، موج مهاجم ریکر با فرکانس غالب ۱ هرتز انتخاب شد که خارج از محدوده فرکانسی حوضه‌های رسوی است و از کمترین فرکانس اصلی چهار حوضه (۲۰۴ هرتز) کمتر است.

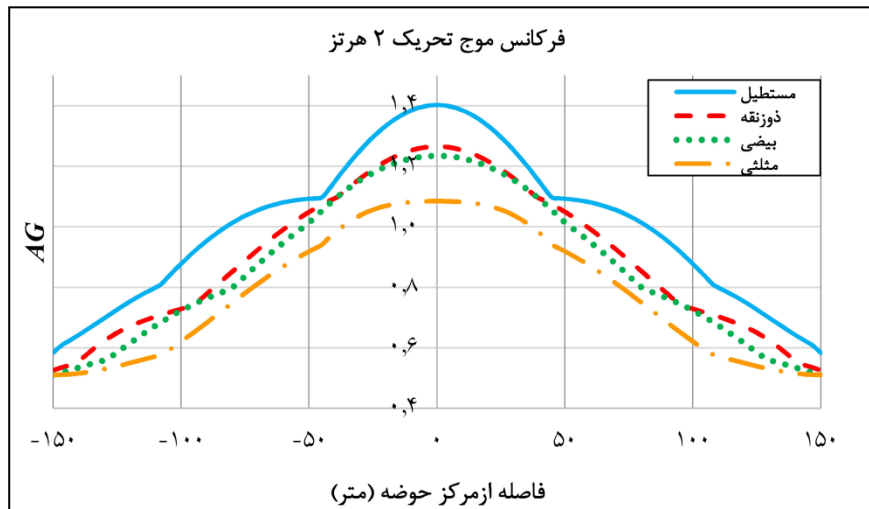
چنان‌که از نتایج پیداست زمانی‌که فرکانس موج مهاجم ورودی خارج از محدوده فرکانسی حوضه باشد (به عبارتی فرکانس موج ورودی کم‌تر از کوچک‌ترین فرکانس اصلی حوضه‌ها باشد) حوضه رسوی موجب بزرگ‌نمایی و آشفتگی در پاسخ نخواهد شد و حتی ممکن است باعث کوچک‌نمایی نیز شود. در این مورد انتظار می‌رود که نتایج به دست آمده نشان‌گر اثر هندسه حوضه رسوی در پاسخ آن نیز باشد.



شکل ۱۱. نتایج نسبت پاسخ‌های پیشینه شتاب افی تحیلی دوبعدی به یکبعدی برای بار با فرکانس ۱ هرتز

در شکل ۱۲ نتایج حاصل از تحیلی دوبعدی در مقایسه با تحیلی یکبعدی برای موج ریکر ۲ هرتز برای شکل‌های متفاوت حوضه رسوی آمده است. چنان‌که مشاهده می‌شود در مرکز حوضه رسوی پاسخ‌ها به مرتب بزرگ‌تر از تحیلی یکبعدی است برای مثال این مقدار در حوضه مستطیلی تا $1/4$ برابر پاسخی است که از تحیلی یکبعدی به دست آمده است که دلیل آن انکسار امواج حجمی به‌وسیله لبه‌های حوضه و هدایت آن‌ها به سمت مرکز حوضه رسوی و مشارکت سازنده این امواج انکساری در مرکز حوضه با امواج رایلی که به‌وسیله لبه‌ها تولید شده و امواج حجمی اویله که مستقیماً به مرکز حوضه می‌رسد، است. به عبارتی امواج حجمی در برخورد با لبه حوضه به سمت مرکز حوضه منکسر شده و به صورت همزمان با امواج سطحی در مرکز حوضه به یکدیگر می‌رسند و سبب تمرکز امواج و بزرگ‌نمایی در مرکز

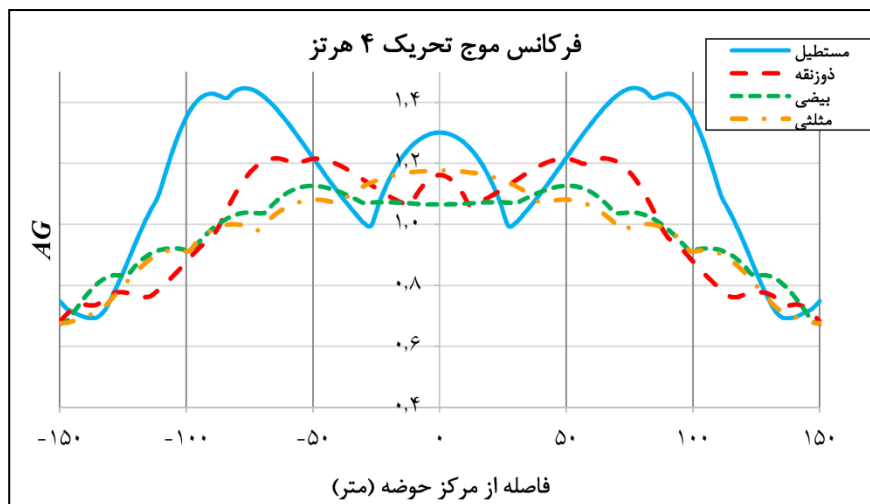
حوضه می‌شوند. در مقابل در نزدیک به لبه‌های حوضه رسوی کاهش پاسخ به نسبت تحلیل یک بعدی مشاهده می‌شود که آن هم بهدلیل تفرق و انکسار امواج حجمی بر اثر هندسه لبه‌های حوضه است و مشخص است که با تغییر ابعاد حوضه (طول و عمق) و همچنین طول موج ورودی امکان دارد پاسخ‌ها در این محدوده تغییر کند.



شکل ۱۲. نتایج نسبت پاسخ‌های پیشینه شتاب افغی تحلیل دو بعدی به یک بعدی برای بار با فرکانس ۲ هرتز

در شکل ۱۳ نتایج حاصل از تحلیل دو بعدی در مقایسه با تحلیل یک بعدی برای موج ریکر ۴ هرتز با شکل‌های متفاوت حوضه رسوی آمده است. چنان‌که مشاهده می‌شود در گستره وسیعی از مرکز حوضه رسوی پاسخ‌های به مراتب بیشتر از تحلیل یک بعدی مشاهده می‌شود این بازه برای حوضه رسوی مستطیل شکل از -117 تا $+117$ متر و برای دیگر حوضه‌های رسوی از -87 تا $+87$ متر است به عبارتی تا 778% از سطح حوضه شتاب‌هایی به مراتب بیشتر از شتابی که تحلیل یک بعدی پیش‌بینی شده است را تجربه می‌کند. هم‌چنین پاسخ‌ها به نسبت فرکانس ۲ هرتز بسیار متفاوت است و آشفتگی و کاهش انسجام در پاسخ‌ها مشاهده می‌شود، به خصوص در مورد حوضه مستطیلی و ذوزنقه‌ای شکل، پاسخ‌ها دارای افت و خیزهای بسیاری در سطح حوضه است که این بهدلیل مشارکت امواج حجمی انتشار یافته در راستای قائم و امواج حجمی منكسر شده به وسیله لبه‌های حوضه و امواج سطحی رایلی در طول حوضه است

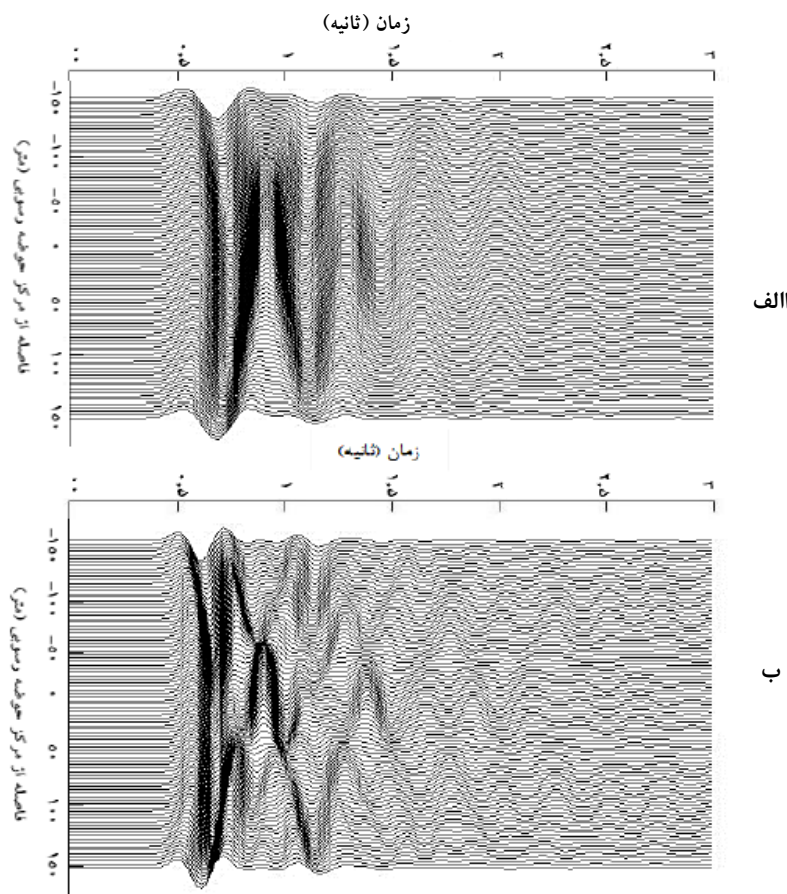
که باعث تغییر در مکان وقوع بیشینه شتاب افقی در سطح حوضه شده است. به عبارتی امواج در سنگ بستر زودتر به سطح می‌رسند و با برخورد به دو لبه حوضه به صورت امواج رایلی در سطح حوضه متشر می‌شوند و امواج حجمی نیز در برخورد با لبه حوضه به محدودهای نزدیک به لبه حوضه منكسر می‌شوند و به صورت هم‌زمان با امواج سطحی رایلی و حجمی در این نواحی سبب بزرگ‌نمایی می‌شود و سپس بخشی از این امواج حجمی در برخورد به سطح حوضه مجدداً به داخل حوضه باز می‌گردند و با برخورد به کف حوضه مجدداً تحت زاویه به سطح حوضه بازگشته و سبب بزرگ‌نمایی در مرکز می‌شود. این پتانسیل حرکت‌های نامتقارن بزرگ در چنین حوضه‌های رسوبی، اثر بهسازای در طرح سازه‌های با دهانه بلند همانند پل‌ها، خطوط لوله که اغلب از عرض دره‌های رسوبی عبور می‌کنند، دارد. حرکات نامتقارن می‌توانند منجر به بارگذاری‌های سنگین و نهایتاً خرابی عمده در این گونه سازه‌ها شوند.



شکل ۱۳. نتایج نسبت پاسخ‌های بیشینه شتاب افقی تحلیل دوبعدی به یک بعدی برای بار با فرکانس ۴ هرتز

شکل ۱۴ یک لرزه‌نگار مصنوعی است که شتاب‌نگاشت سطح حوضه مستطیلی را در دو فرکانس ۲ هرتز (شکل آ) و فرکانس ۴ هرتز (شکل ب) نشان می‌دهد. این شکل ابزاری کارآمد برای تحلیل و تفسیر چگونگی پارامتر AG در نمودارهای شکل ۱۲ و ۱۳ است. در این

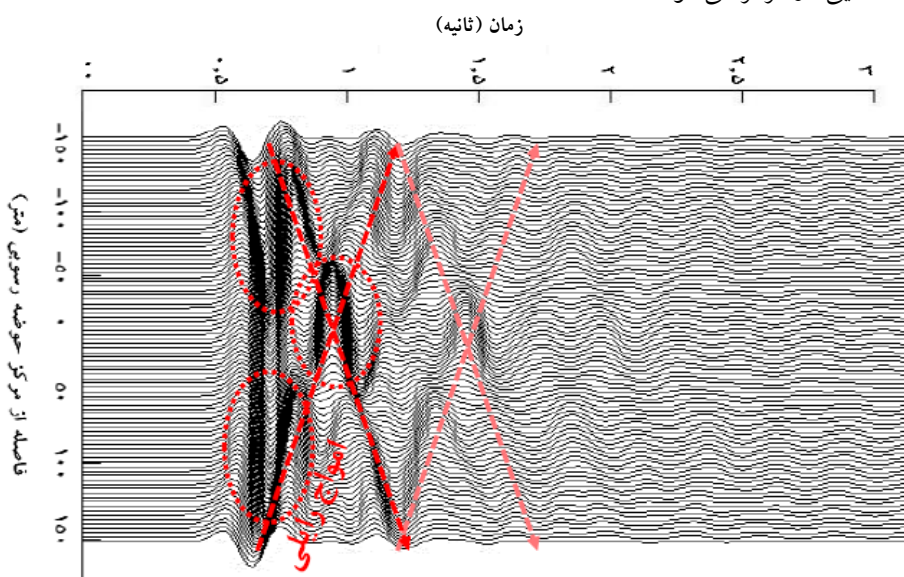
دو شکل تفاوت الگوی انتشار امواج سطحی و حجمی بر اثر فرکانس‌های متفاوت تحریک مشخص است. با تغییر فرکانس موج تحریک، طول موج تغییر می‌کند و در مواجهه با عارضه زیر سطحی امواج انکساری با زوایای متفاوتی به داخل حوضه منكسر می‌شوند و الگوهای متفاوتی از تداخل امواج حجمی به دام افتاده و امواج سطحی را به وجود می‌آورند.



شکل ۱۴. الف) شتابنگاشت سطح حوضه در فرکانس تحریک ۲ هرتز، ب) شتابنگاشت سطح حوضه در فرکانس تحریک ۴ هرتز

در شکل ۱۵ الگوی تداخل امواج سطحی و حجمی در حوضه مستطیلی شکل در فرکانس تحریک ۴ هرتز نشان داده شده است. نواحی تداخل امواج حجمی اولیه (که مستقیماً در داخل حوضه منتشر شده‌اند) و امواج حجمی ثانویه (امواج حجمی که به وسیله لبه حوضه انکسار

یافته‌اند) با دایره خط‌چین قرمزنگ مشخص شده است و هم‌چنین انتشار امواج رایلی که بهوسیله لبه‌های حوضه به داخل حوضه منتشر می‌شود با خطوط قرمزنگ نشان داده شده است. در شکل به خوبی مشخص است که امواج حجمی در برخورد با لبه حوضه به محدوده‌ای نزدیک به لبه حوضه منكسر می‌شوند و به صورت هم‌زمان با امواج سطحی رایلی و امواج حجمی اولیه، سبب بزرگ‌نمایی در این نواحی می‌شود و سپس بخشی از این امواج حجمی در برخورد به سطح حوضه مجدداً به داخل حوضه باز می‌گردند و با برخورد به کف حوضه بخشی از آن‌ها مجدداً به سطح حوضه بازگشته و با تداخل با امواج سطحی سبب بزرگ‌نمایی در مرکز می‌شوند.



شکل ۱۵. الگوی تداخل امواج سطحی و حجمی در حوضه مستطیل شکل در فرکانس تحریک ۴ هرتز

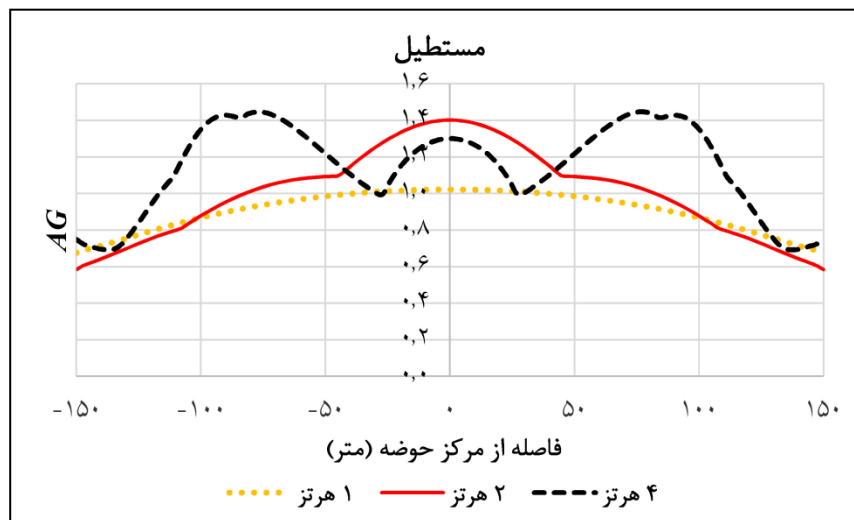
با توجه به شکل ۱۱ و ۱۲ و ۱۳ می‌توان نتیجه گرفت در حالت کلی برای حوضه‌های رسوبی با ابعاد و مشخصات مصالح ارائه شده در این مقاله، حوضه رسوبی مستطیل شکل نسبت به دیگر شکل‌های هندسی بیشترین پاسخ را دارد و علت آن هم بیشترین اندرکنش سازنده امواج سطحی رایلی و امواج حجمی نسبت به دیگر هندسه‌ها است. بنابراین به ترتیب حوضه مستطیلی، ذوزنقه‌ای، بیضی و مثلثی شکل بیشترین پاسخ‌ها را دارند.

الگوی رفتار و پاسخی که برای حوضه‌های یاد شده در این پژوهش به دست آمده است، با نتایج سایر محققان در این زمینه هم خوانی دارد، سحر و همکاران (۲۰۱۵) [۲۱]، سه شکل فرضی حوضه رسوی مستطیل شکل، ذوزنقه و بیضی شکل را با ابعاد و مشخصات مصالح متفاوت نسبت به این مطالعه بررسی کردند، نتایج نشان داد که حوضه مستطیلی گستره وسیع تری را به نسبت دو شکل هندسی دیگر تحت تأثیر بزرگ‌نمایی قرار می‌دهد و حوضه‌ی بیضی شکل نیز گستره کمتری را به نسبت حوضه مستطیلی و ذوزنقه‌ای تحت تأثیر بزرگ‌نمایی قرار می‌دهد. گلاگوتی و همکاران (۲۰۱۰) [۲۰]، یک حوضه رسوی ذوزنقه تحت تأثیر پارامترهای متفاوت بررسی کردند، نتایج آن‌ها نیز حاکی از این است که مشارکت امواج حجمی و سطحی و در نتیجه الگوی پاسخ شتاب در سطح حوضه به نسبت تحلیل یک بعدی، بسیار تحت تأثیر فرکانس بار ورودی است و پاسخ‌های متفاوت در فرکانس‌های متفاوت بارگذاری نتیجه شده است. نتایج سایر محققان مانند بارد و بوچان (۱۹۸۰) [۲۲]، سانچز سسما و همکاران (۱۹۹۲) [۲۳]، هیداسا و یاموتو (۱۹۹۶) [۲۴]، ایسان و خان‌بابازاده (۲۰۱۳) [۲۵] نیز با نتایج به دست آمده هم خوانی دارد.

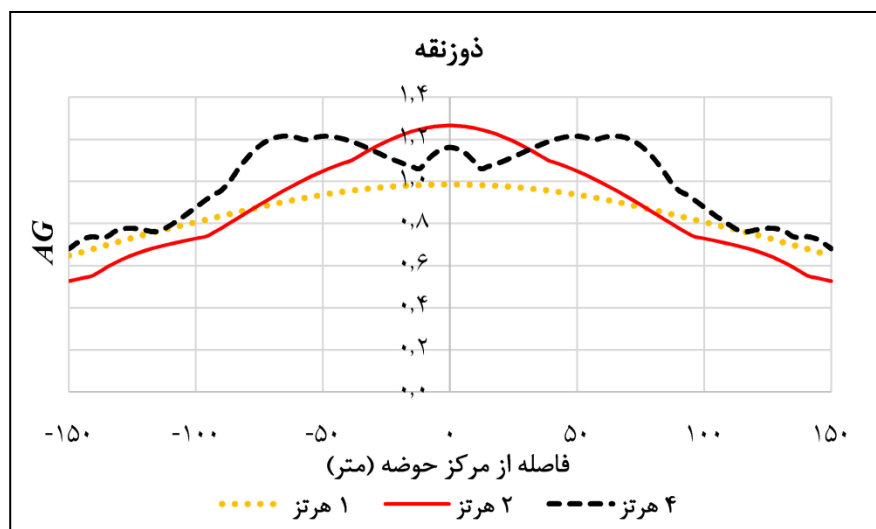
لازم به ذکر است در این تحقیق مشخصات مصالح و نسبت دهانه به عمق هر چهار حوضه ثابت و برابر در نظر گرفته شده است تا شکل هندسی این چهار حوضه رسوی تحت شرایط یکسان و در برابر محتوای فرکانسی متفاوت موج تحریک با یک‌دیگر بررسی شود. مشخص است که رفتار هر حوضه به میزان زیادی به ابعاد هندسی آن (دهانه، عمق و زوایای شب) و همچنین مشخصات مصالح وابسته است، این نتایج به دست آمده برای حوضه‌هایی رسوی با ابعاد مشخص و این مشخصات مصالح اشاره شده است و باید توجه داشت که تغییر در ابعاد و مشخصات مصالح منجر به پاسخ‌های متفاوتی خواهد شد اما آن‌چه که مشخص است شکل هندسی حوضه رسوی تأثیر بسیار زیادی بر پاسخ میدان امواج لرزه‌ای دارد و منجر به پاسخ‌های بسیار متفاوت نسبت به تحلیل یک‌بعدی ساخنگاه می‌شود، بنابراین الگوی پاسخ امواج لرزه‌ای به میزان بسیار زیاد تحت تأثیر شکل هندسی و محتوای فرکانسی بار لرزه‌ای است.

۳. بررسی میزان حساسیت پاسخ به شکل هندسی حوضه

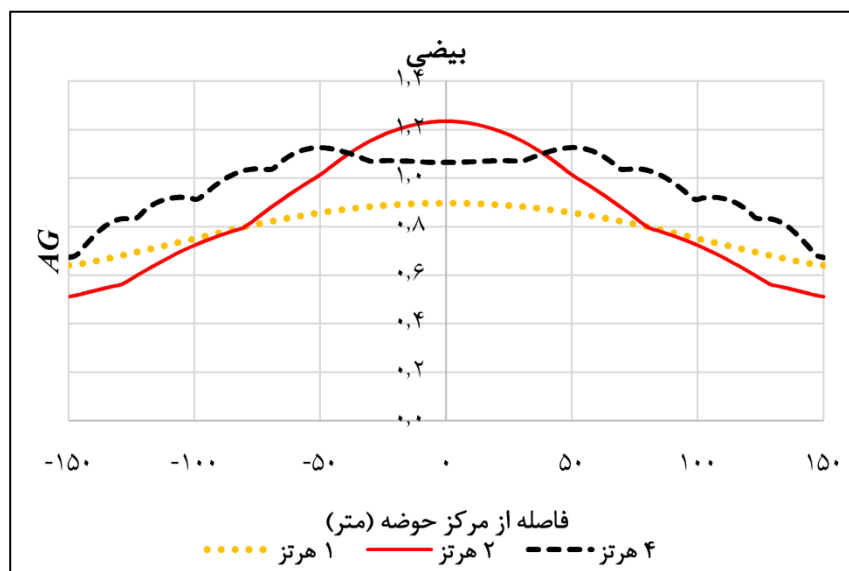
در این پژوهش هدف از بررسی چند شکل هندسی حوضه رسوی به صورت همزمان، نشان دادن تفاوت پاسخ و الگوی رفتاری آنها با یکدیگر بوده است. در واقع در مواردی که جهت بررسی نمونه واقعی حوضه رسوی، از شکل هندسی معادل آن استفاده می‌شود، دقت در مورد انتخاب شکل هندسی مناسب بسیار حائز اهمیت است. در شکل‌های ۱۶ الی ۱۹ پاسخ‌های حوضه‌های رسوی تحت امواج ۱ و ۲ و ۴ هرتز به صورت جداگانه نشان داده شده است تا میزان حساسیت پاسخ هر حوضه رسوی به ازای هندسه آنها مشخص شود، با توجه به نتایج مشخص است پاسخ حوضه رسوی مستطیلی و ذوزنقه‌ای نسبت به فرکانس بار ورودی بسیار حساس است و در مقابل حوضه‌های بیضی و مثلثی شکل الگو رفتاری یکنواخت‌تری در برابر فرکانس‌های متفاوت دارد.



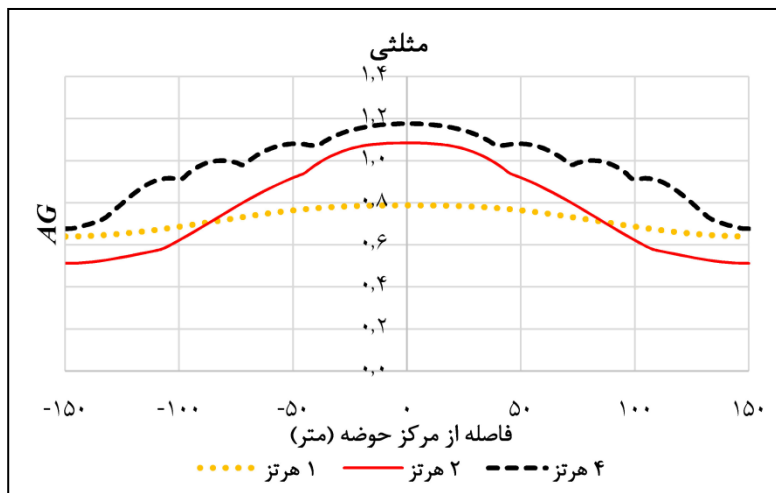
شکل ۱۶. نتایج نسبت پاسخ‌های بیشینه شتاب افقی تحلیل دوبعدی به یکبعدی برای حوضه مستطیلی



شکل ۱۷. نتایج نسبت پاسخ‌های بیشینه شتاب افقی تحلیل دوبعدی به یکبعدی برای حوضه ذوزنقه‌ای



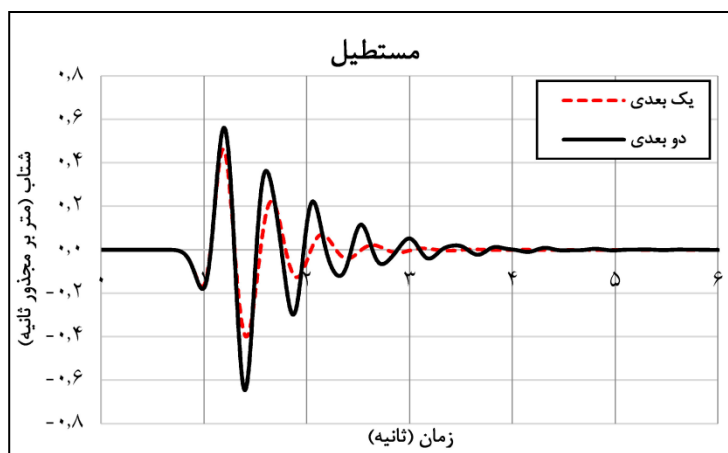
شکل ۱۸. نتایج نسبت پاسخ‌های بیشینه شتاب افقی تحلیل دوبعدی به یکبعدی برای حوضه بیضی شکل



شکل ۱۹. نتایج نسبت پاسخ‌های بیشینه شتاب افی تحلیل دوبعدی به یک بعدی برای حوضه مثالی شکل

۴. اثر دو بعدی ساختگاه در مدت زمان حرکت زمین

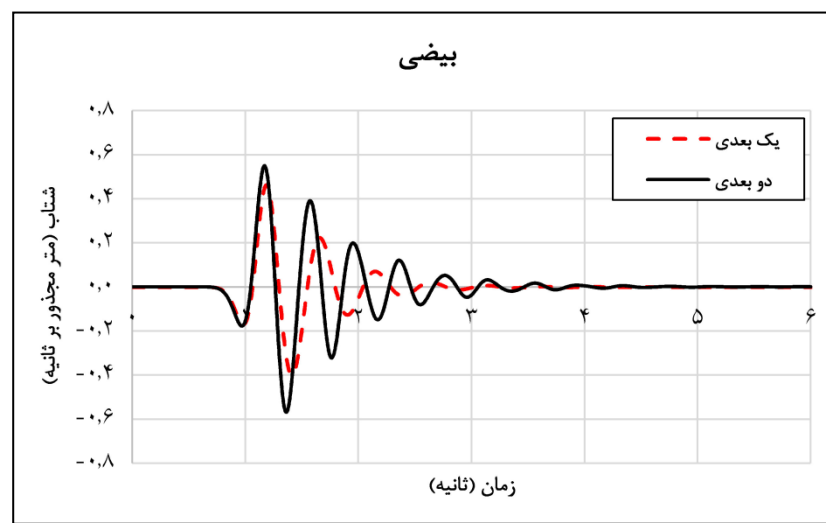
در شکل‌های ۲۰ الی ۲۳ تاریخچه زمانی شتاب روی سطح زمین در مرکز حوضه‌های رسوبی در بارگذاری با فرکانس ۲ هرتز در برابر پاسخ یک بعدی رسم شده است. همان‌گونه که پیدا است اثر دوبعدی ساختگاه علاوه بر بزرگ‌نمایی قابل توجه باعث افزایش مدت زمان حرکت زمین نیز می‌شود.



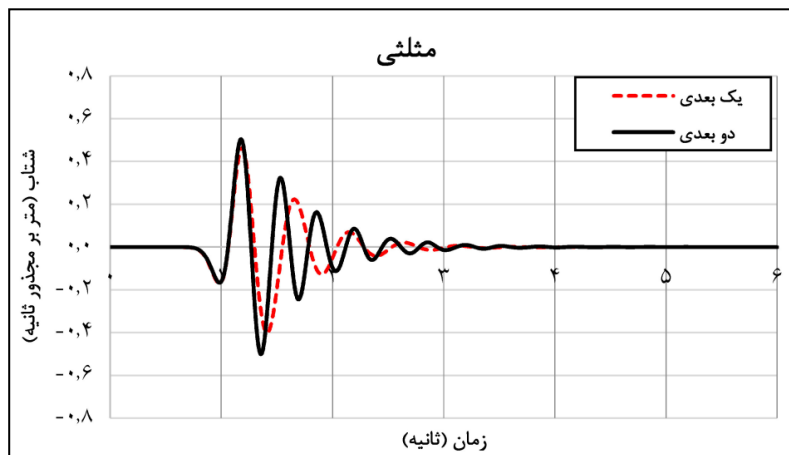
شکل ۲۰. تاریخچه زمانی شتاب در مرکز حوضه مستطیلی در فرکانس تحریک ۲ هرتز



شکل ۲۱. تاریخچه زمانی شتاب در مرکز حوضه ذوزنقه‌ای در فرکانس تحریک ۲ هرتز



شکل ۲۲. تاریخچه زمانی شتاب در مرکز حوضه بیضی در فرکانس تحریک ۲ هرتز



شکل ۲۳. تاریخچه زمانی شتاب در مرکز حوضه مثلثی در فرکانس تحریک ۲ هرتز

نتیجه‌گیری

- شکل هندسی حوضه رسوی تأثیر بسیار زیادی بر پاسخ میدان امواج لرزه‌ای دارد و منجر به پاسخ‌های بسیار متفاوت نسبت به تحلیل یکبعدی ساختگاه می‌شود.
- الگوی پاسخ امواج لرزه‌ای بهمیزان بسیار زیاد تحت تأثیر شکل‌هندسی و محتوای فرکانسی بار لرزه‌ای است.
 - در بیشینه پاسخ شتاب سطح زمین، نتایج تحلیل دوبعدی اختلاف بسیار زیادی را به نسبت تحلیل یکبعدی نشان می‌دهد، این اختلاف تا $1/45$ برابر پاسخ یکبعدی برای حوضه مستطیلی، $1/28$ برابر برای حوضه ذوزنقه‌ای، $1/22$ برابر برای حوضه بیضی و $1/19$ برابر حوضه مثلثی شکل است.
 - در فرکانس ۲ هرتز که تشید رخ می‌دهد، بزرگنمایی در مرکز حوضه نسبت به تحلیل یکبعدی رخ داده و کاهش پاسخ شتاب در نزدیکی لبه‌های حوضه رسوی مشاهده می‌شود. بزرگنمایی در مرکز به نسبت تحلیل یکبعدی برای حوضه مستطیلی $1/4$ ، برای حوضه ذوزنقه‌ای $1/28$ ، برای حوضه بیضی $1/22$ ، برای حوضه مثلثی $1/15$ به دست آمده است.
 - در فرکانس ۴ هرتز تا 78% سطح حوضه مستطیلی، 53% سطح حوضه ذوزنقه‌ای، 60% سطح حوضه بیضی، 62% سطح حوضه مثلثی شتاب‌هایی به مراتب بیشتر از آن‌چه تحلیل

یکبعدی تخمین زده است را تجربه می‌کند. بیشترین نسبت پاسخ شتاب دو بعدی به یکبعدی برای حوضه مستطیلی $1/45$ ، حوضه ذوزنقه‌ای $1/2$ ، حوضه بیضی $1/16$ ، مثلثی $1/19$ به دست آمده است.

- در فرکانس 4 هرتز حوضه رسوی مستطیل و ذوزنقه‌ای شکل، پاسخ‌های ناهمانگ و آشفته‌ای را در سطح حوضه نشان می‌دهند.
- در فرکانس 1 هرتز که فرکانس موج تحریک ورودی خارج از محدوده فرکانسی حوضه است (به عبارتی فرکانس موج ورودی کمتر از کوچکترین فرکانس اصلی حوضه باشد) حوضه رسوی بر خلاف دو حالت قبل موجب بزرگنمایی و آشفتگی نشده است و موجب کوچکنمایی شده است. در حوضه مستطیلی و ذوزنقه با پاسخ برابر تحلیل یکبعدی در مرکز شروع شده و در لبه حوضه به کوچکنمایی 38% می‌رسد، در حوضه بیضی شکل در مرکز کوچک نمایی 10% و در لبه حوضه به 38% کوچکنمایی می‌رسد، در حوضه مثلثی شکل در مرکز کوچکنمایی 20% و در لبه حوضه به 38% کوچکنمایی می‌رسد.
- مکان وقوع بیشینه شتاب افقی در طول حوضه رسوی در حوزه زمان به فرکانس موج تحریک وابسته است و جایه‌جا می‌شود.
- در مقابل تغییر فرکانس موج تحریک در ازای این هندسه مشخص و با در نظر گرفتن نسبت دهانه به عمق یکسان برای حوضه‌ها، حوضه رسوی مثلثی و بیضی شکل، الگوی رفتاری یکنواخت‌تری به نسبت حوضه رسوی ذوزنقه و مستطیلی، نشان می‌دهند.
- در حالت کلی برای حوضه‌های رسوی با ابعاد و مشخصات مصالح ارائه شده در این پژوهش و با در نظر گرفتن تنها اثر شکل هندسی حوضه رسوی، به ترتیب حوضه مستطیلی، ذوزنقه‌ای، بیضی، مثلثی بیشترین پاسخ‌ها را دارند.
- اثر دو بعدی ساختگاه علاوه بر بزرگنمایی قابل توجه، باعث افزایش مدت زمان حرکت زمین نیز می‌شود.

منابع

1. Trifunac M. D., Hudson D. E., "Analysis of the Pacoima Dam Accelerograms-San Fernando earthquake of 1971", Bulletin of the Seismological Society of America, Vol. 61, No. 5 (1971) 1393-1411.

2. Bard P. Y., Bouchon M. "The seismic response of sediment-filled valleys. Part I The case of incident SH waves", Bulletin of the Seismological Society of America. 70 (1980a) 1263-1286.
3. Bard P. Y., Bouchon M., "The seismic response of sediment-filled valleys. Part II. The case of incident P and SV waves", Bulletin of the Seismological Society of America 70 (1980b) 1921-1941
4. King J. L., Tucker B. E., "Dependence of sediment-filled valley response on the input amplitude and the valley properties", Bulletin of the Seismological Society of America, Vol. 74, No. 1 (1984) 153-165.
5. Harmsen S. C., Harding S. T., "Surface motion over a sedimentary valley for incident plane P and SV waves", Bulletin of the Seismological Society of America, 71 (1981) 655-670
6. Ohtsuki A., Harumi K., "Effect of topography and subsurface in homogeneities on seismic SV waves", Earthquake Engineering & Structural Dynamics11 (1983) 441-462.
7. Bard P. Y., Gareil J. C. "The seismic response of two dimensional sedimentary deposits with large vertical velocity gradients", Bulletin of the Seismological Society of America, Vol. 76 (1986) 343-356.
8. Rial J. A., Saltzman N. G., Ling H., "Earthquake induced resonance in sedimentary basins", American Scientist, Vol. 80, No. 6 (1992) 566-578.
9. Zhang B., Papageorgiou A. S., "Simulation of the response of the Marina District Basin, San Francisco, California, to the 1989 Loma Prieta earthquake", Bulletin of the Seismological Society of America. 86 (1996) 1382-1400.
10. Kamalian M., Gatmiri B., Sohrabi-Bidar A., Khalaj A., "Amplification Pattern of 2D Semi-Sine-Shaped Valleys Subjected to Vertically

- Propagating Incident Waves", Communications in Numerical Methods in Engineering, Vol. 25 (2007) 871-887.
11. Gatmiri B., Arson C., Nguyen KV., "Seismic site effects by an optimized 2D BE/FE method I. Theory, numerical optimization and application to topographical irregularities", Soil Dynamics and Earthquake Engineering, 28 (2008) 632-645.
12. Sohrabi-Bidar A., Kamalian M., Jafari M. K., "Seismic Response of 3-D Gaussian- Shaped Valleys to Vertically Propagating Incident Waves", Geophysical Journal International, Vol. 183 (2010) 1429-1442.
13. Kamalian M., Jafaria M., Sohrabi bidar A., Razmkhaha A., Gatmiri B., "Time-domain two-dimensional site response analysis of non-homogeneous topographic structures by a hybrid BE/FE method", Soil Dynamics and Earthquake Engineering (2006) 753-765.
14. Mossessian T. K., Dravinski M., "Application of a hybrid method for scattering of P, SV, and Rayleigh waves by near-surface irregularities", Bulletin of the Seismological Society of America (1987) 784-809
۱۵. جعفری ندوشن علیرضا، "بررسی اثر شهر بر پاسخ‌های لرزه‌ای حوضه‌های رسوی"، پایان‌نامه کارشناسی ارشد مهندسی زلزله به راهنمایی دکتر علی معصومی، دانشگاه خوارزمی (۱۳۹۴).
۱۶. نریمان‌نژاد ساسان، "بررسی اثر حوضه‌های رسوی در پاسخ‌های لرزه‌ای محیط‌های شهری"، پایان‌نامه کارشناسی ارشد مهندسی زلزله به راهنمایی دکتر علی معصومی، دانشگاه خوارزمی (۱۳۹۴).
17. Kuhlmeyer R. L., Lysmer J., "Finite element method accuracy for wave propagation problems", Journal of the Soil Mechanics and Foundations Division., ASCE99 (1973) 421-427.
18. Lysmer J., Kuhlemeyer R. L., "Finite dynamic model for infinite media", Journal of Engineering Mechanics Division. ASCE (1969) 859-877.

19. Ezzatyazdi P., Jahankhah H., "Practical suggestion for 2d finite element modeling of soil-structure interaction problems", Second European conference on Earthquake Engineering and Seismology, ISTANBOL (2014).
20. Gelagoti F., Kourkoulis R., Anastasopoulos I., Tazoh T., Gazetas G., "Seismic Wave Propagation in a Very Soft Alluvial Valley: Sensitivity to Ground-Motion Details and Soil Nonlinearity, and Generation of a Parasitic Vertical Component", Bulletin of the Seismological Society of America, Vol. 100, No. 6 (2010) 3035-3054.
21. Sahar D., Narayan J. P., Kumar N., "Study of role of basin shape in the site-city interaction effects on the ground motion characteristics", Natural Hazards, vol. 75 (2015) 1167-1186.
22. Bard P.Y., Bouchon M., "The seismic response of sediment filled valley, part-II: the case of incident of SV waves", Bulletin of the Seismological Society of America 70 (1980) 1263-1286.
23. Sanchez-Sesma F., Romos-Martinez J., Campillo M., "Seismic response of alluvial valleys for incident P, S and Rayleigh waves: A boundary integral formulation", Tenth World Conference on Earthquake Engineering, Balkema, Rotterdam (1992).
24. Hidasa Y., Yamamoto S., "One, Two, and Three-Dimensional Site in Sediment-Filled Basins", 11th, World Conference on Earthquake Engineering (1996).
25. Iyisan R., Khanbabazadeh H., "A Numerical study on the basin edge effect on soil amplification", Bulletin of Earthquake Engineering, 11 (2013) 1305-1323.